

高エネルギー衝突での2粒子間 相関関数における共鳴状態の影響



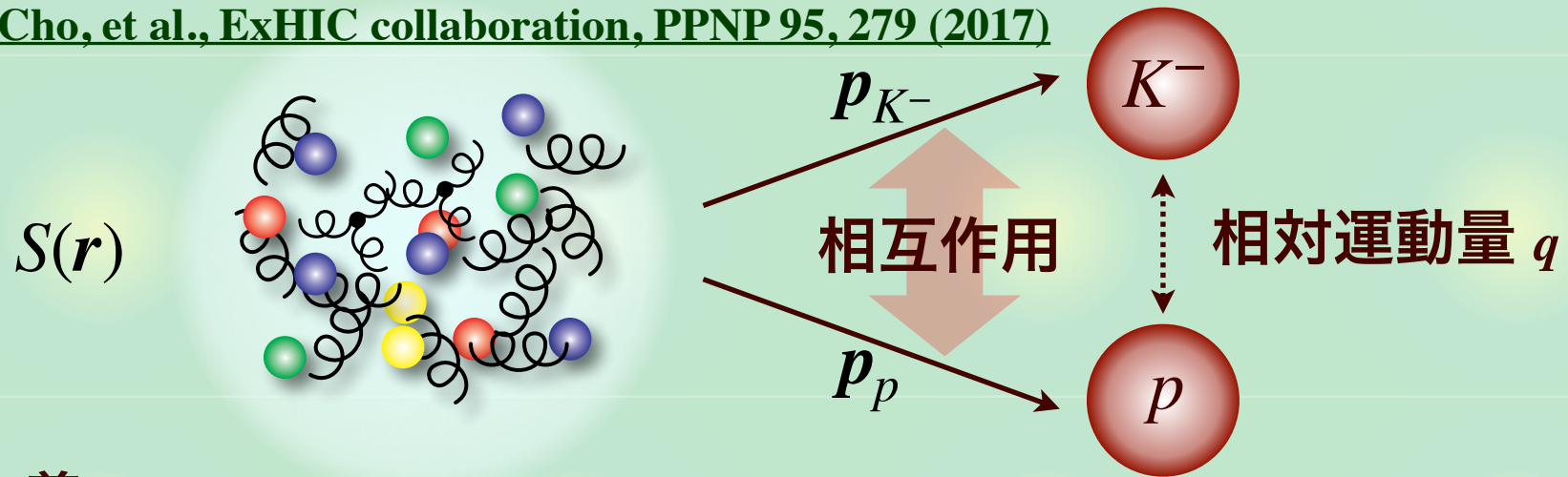
渡辺 蒼大, 兵藤 哲雄

東京都立大学

相関関数とKP公式

高エネルギー衝突での相関関数 $C(q)$ ：ハドロン間相互作用

S. Cho, et al., ExHIC collaboration, PPNP 95, 279 (2017)



- 定義

$$C(q) = \frac{N_{K^-p}(p_{K^-}, p_p)}{N_{K^-}(p_{K^-})N_p(p_p)} \quad (\text{相互作用/量子統計が無ければ} = 1)$$

- KP (Koonin-Pratt) 公式

S.E. Koonin, PLB 70, 43 (1977); S. Pratt, PRD 33, 1314 (1986)

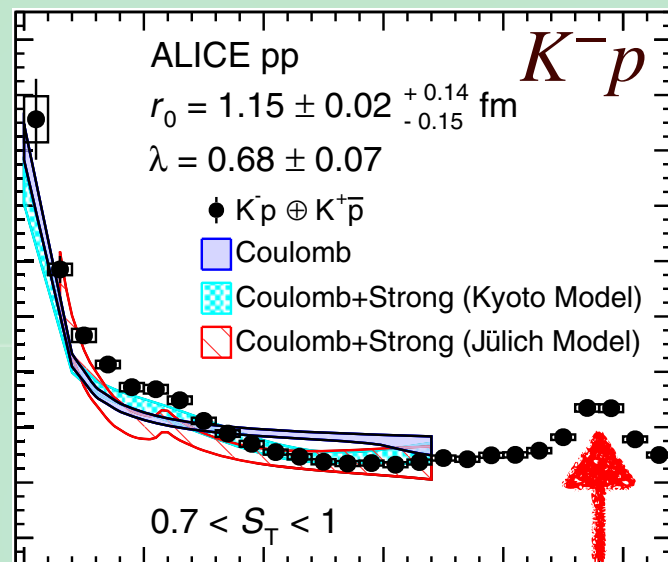
$$C(q) \simeq \int d^3r \, S(r) \, |\Psi_q^{(-)}(r)|^2$$

ソース関数 $S(r)$ \longleftrightarrow 波動関数 $\Psi_q^{(-)}(r)$ (相互作用)

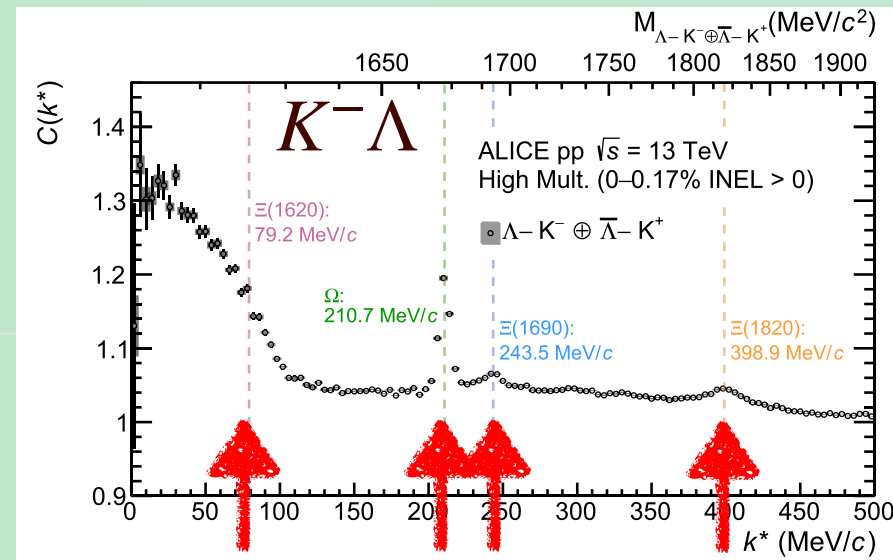
相関関数における共鳴状態

共鳴状態のピークの観測 ($\ell = 0$ および $\ell \neq 0$)

ALICE collaboration, PRL 124, 092301 (2020); PLB845, 138145 (2023)



$\Lambda(1520)$: d波



$\Xi(1620), \Xi(1690)$: s波

Ω : p波 (弱崩壊) , $\Xi(1820)$: d波

問題：

- 共鳴状態はBreit-WignerでOK？ピークの起源は？
- c.f. 高次部分波の寄与 (今回はs波に注目)

K. Murase, T. Hyodo, J. Subatomic Part. Cosmol. 3, 100017 (2025)

有効レンジ展開による散乱振幅

有効レンジ展開の散乱振幅の極 (s波)

T. Hyodo, PRL 111, 132002 (2013),

T. Kinugawa, T. Hyodo, arXiv:2403.12635 [nucl-th]

$$f(q) = \frac{1}{-\frac{1}{a_0} + \frac{r_e}{2}q^2 - iq}, \quad q^\pm = \frac{i}{r_e} \pm \frac{1}{r_e} \sqrt{\frac{2r_e}{a_0} - 1 + i0^+}$$

- 共鳴解の条件 ($-\pi/4 < \arg(q^-) < 0$)

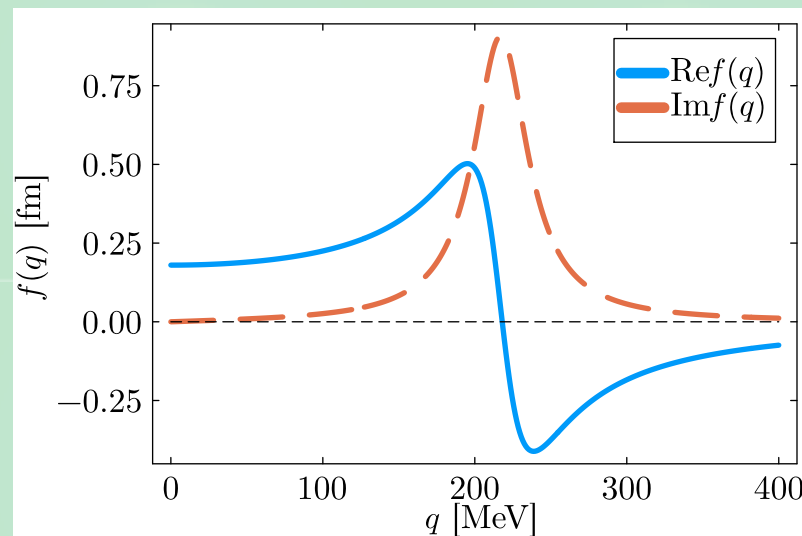
$$r_e < a_0 < 0$$

$a_0 = -0.18 \text{ fm}$, $r_e = -9.1 \text{ fm}$ の場合

$$q^- = 217 - 21i \text{ MeV}$$

$f(E)$ はBreit-Wigner型共鳴振幅

→ 散乱断面積 $\sigma \propto \text{Im } f(E)$ のピーク



相関関数における共鳴状態（LL公式）

LL公式：相関関数を散乱振幅の実部＋虚部で表現

R. Lednicky, V.L. Lyuboshits, Yad. Fiz. 35, 1316 (1981);

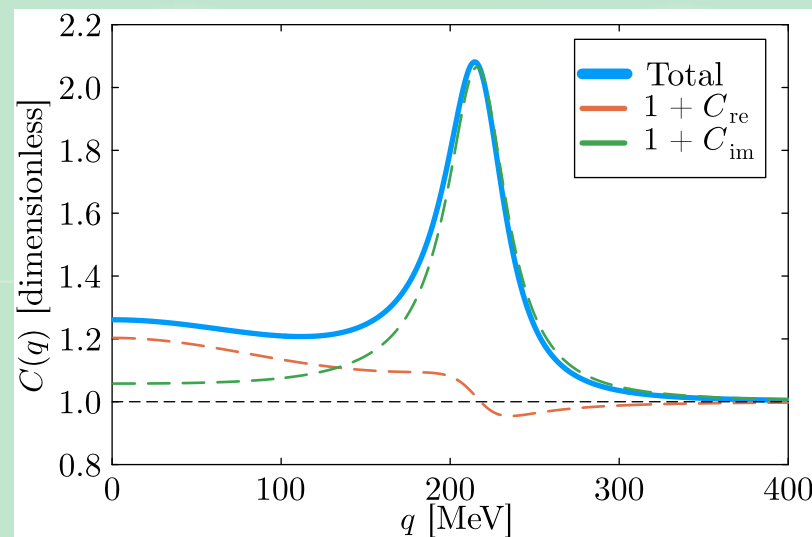
K. Murase, T. Hyodo, J. Subatomic Part. Cosmol. 3, 100017 (2025)

$$\begin{aligned}
 C(q) &= 1 + \frac{|f(q)|^2}{2R^2} F_3(r_e/R) + \frac{2\text{Re } f(q)}{\sqrt{\pi}R} F_1(2qR) - \frac{\text{Im } f(q)}{R} F_2(2qR) \\
 &= 1 + \underbrace{\frac{2\text{Re } f(q)}{\sqrt{\pi}R} F_1(2qR)}_{C_{\text{re}}(q)} + \underbrace{\frac{\text{Im } f(q)}{2qR^2} \left(e^{-(2qR)^2} - \frac{r_e}{2\sqrt{\pi}R} \right)}_{C_{\text{im}}(q)}
 \end{aligned}$$

共鳴極を持つ散乱振幅を代入

$$q^- = 217 - 21i \text{ MeV}$$

S. Watanabe, T. Hyodo, in preparation



相関関数のピーク（虚部） + バックグラウンド（実部）

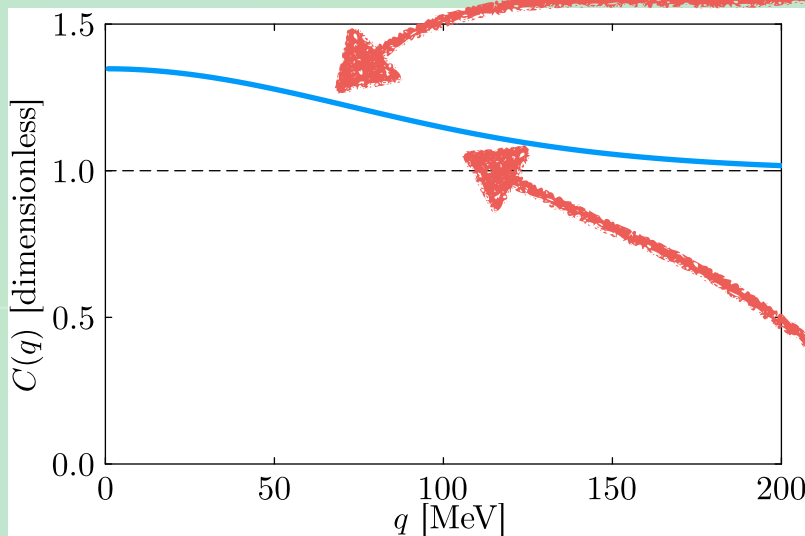
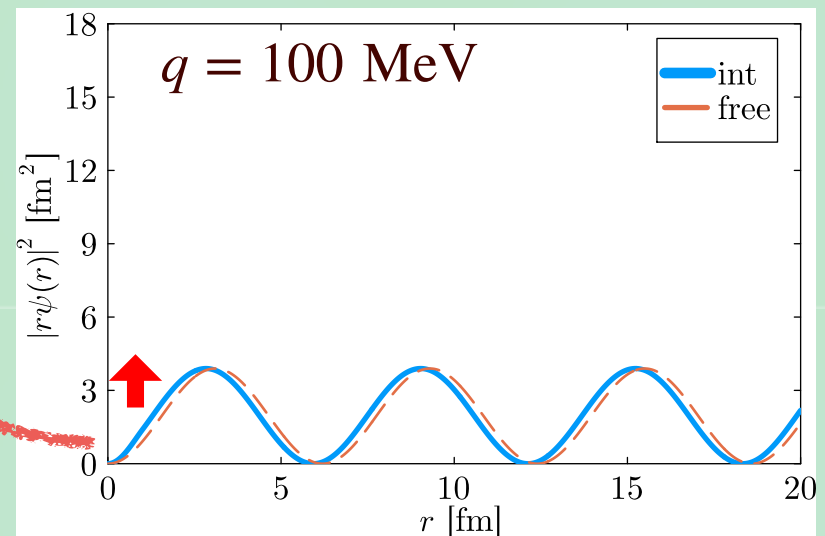
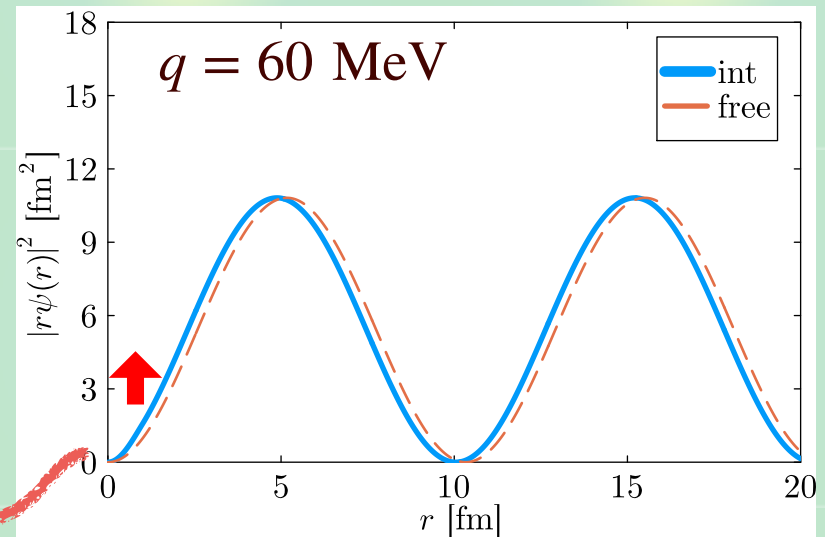
波動関数と相関 (引力)

引力井戸型 $b = 1 \text{ fm}$, $V_0 = -27 \text{ MeV}$

$$V(r) = \begin{cases} V_0 & (0 \leq r \leq b) \\ 0 & (b < r) \end{cases}$$

- ソースサイズ $R = 1 \text{ fm}$

$$C(q) \simeq 1 + \int_0^\infty dr S(r) \{ |r\psi_q(r)|^2 - \sin^2(qr) \}$$



波動関数が引き込まれ $r \lesssim R$ で増大 \rightarrow 相関 $C(q)$ が増大

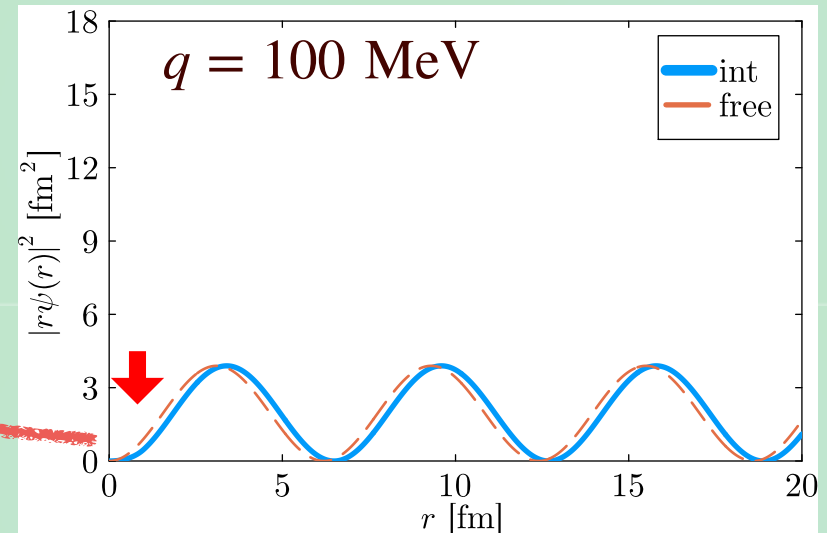
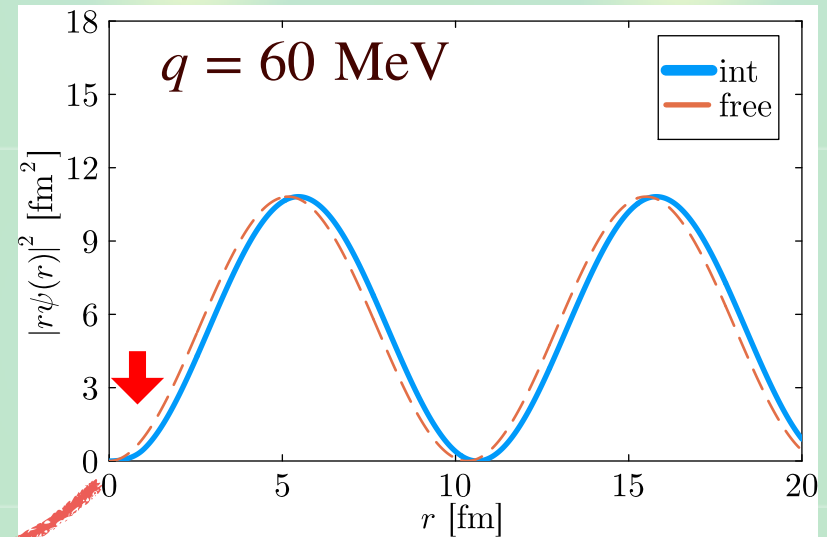
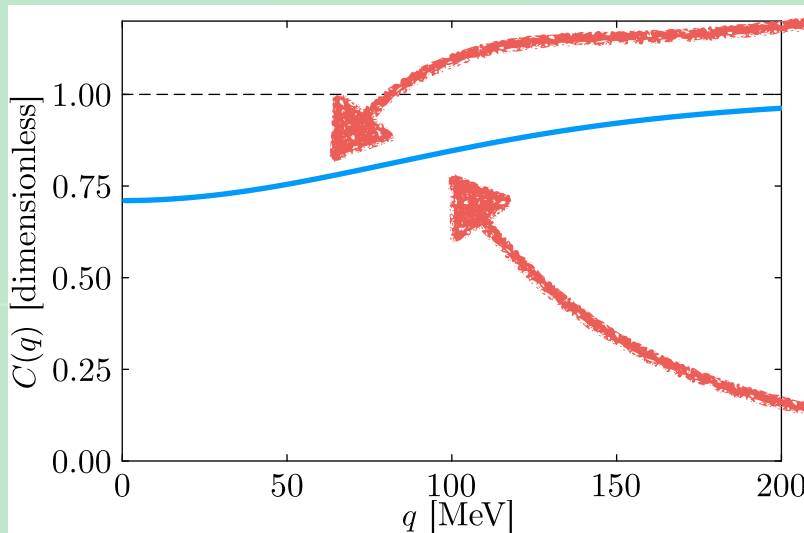
波動関数と相関 (斥力)

斥力井戸型 $b = 1 \text{ fm}$, $V_0 = 58 \text{ MeV}$

$$V(r) = \begin{cases} V_0 & (0 \leq r \leq b) \\ 0 & (b < r) \end{cases}$$

- ソースサイズ $R = 1 \text{ fm}$

$$C(q) \simeq 1 + \int_0^\infty dr S(r) \{ |r\psi_q(r)|^2 - \sin^2(qr) \}$$



波動関数が押し出され $r \lesssim R$ で減少 \rightarrow 相関が減少

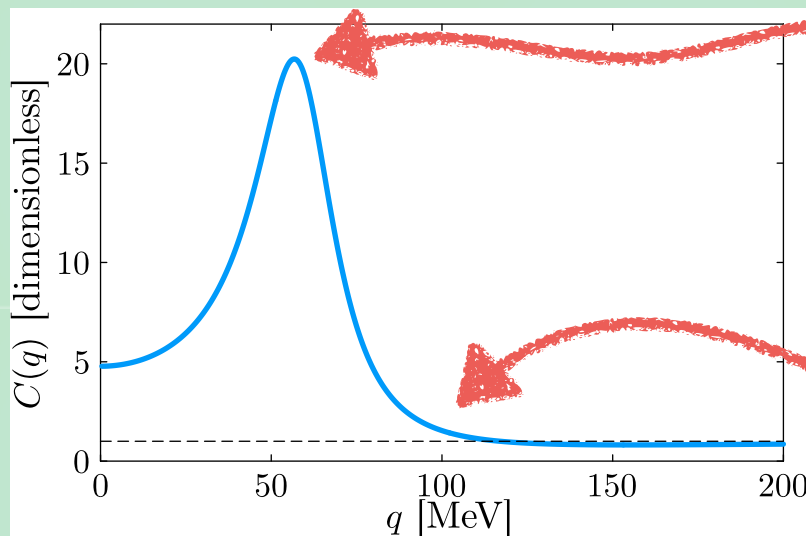
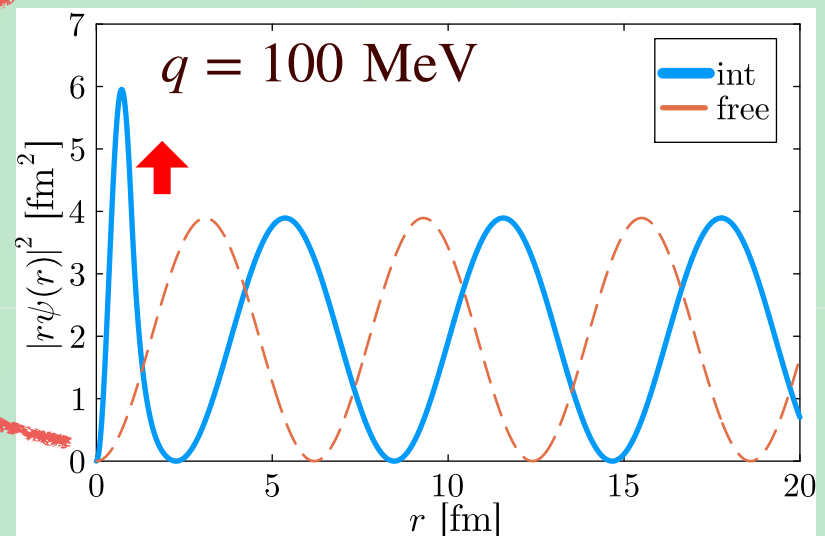
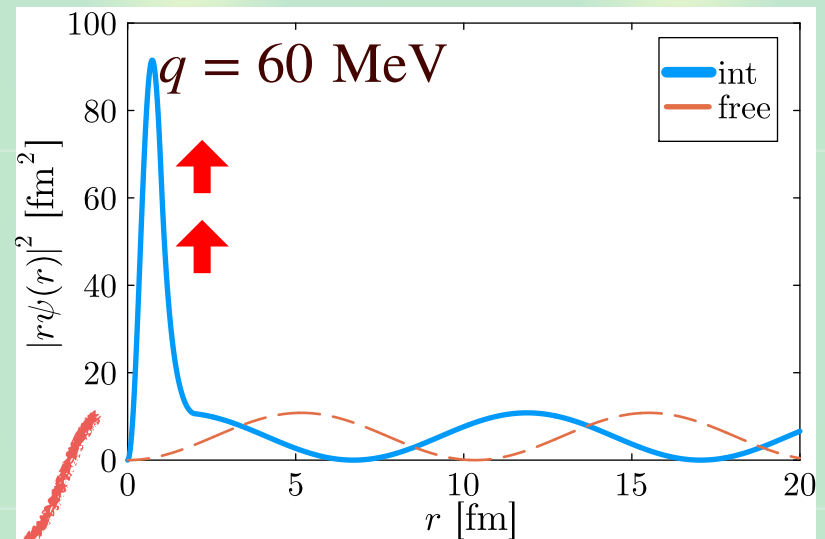
波動関数と相関 (共鳴)

井戸+障壁ポテンシャル $b = 1$ fm

$$V(r) = \begin{cases} V_0 & (0 \leq r \leq b) \\ V_1 & (b \leq r \leq 2b) \\ 0 & (2b < r) \end{cases}$$

- $V_0 = -187$ MeV, $V_1 = 100$ MeV

→ 共鳴@ $q = 59 - 14i$ MeV



共鳴運動量で波動関数が $r \lesssim R$ に局在 → 相関のピーク

まとめ



実験の相関関数に共鳴状態のピークが観測



相関関数における共鳴状態の寄与

- LL公式（散乱振幅）

虚部のピーク + 実部のバックグラウンド

→ 散乱断面積と相補的な情報？

- KP公式（波動関数）

波動関数の局在によって相関にピークが生じる

→ 共鳴ピークの物理的起源

S. Watanabe, T. Hyodo, in preparation